

角柱コンクリート供試体内の組成変動が乾燥収縮に及ぼす影響

秋田大学 宇○保坂悟
秋田工専正 庄谷征美
秋田大学正 加賀谷誠

1. 目的 振動締固めによつて生ずる角柱供試体内の内部組成変動と供試体各位置の乾燥収縮量の関係を求めるこゝととして実験を行つた。

2. 手法 $M_S = 25 \text{ mm}$, $S_L = 5, 10, 15 \text{ cm}$, $W/C = 0.5$ のコンクリートを作製した。作製した供試体の寸法を図1(a)に示す。締固めには棒形内部振動機($\phi 25 \text{ mm}$, $f = 12000 \text{ rpm}$, $a = 1.0 \text{ mm}$)を用いた。ブリージング終了後供試体をNo.1~4に分割し、配合分析試験を行なつた。同時に打設した供試体について材令7日まで標準水中養生を行つた後カッターによりNo.1~4に切断した。切断後の供試体寸法を図1(b)に示す。ゲージプラグを図のように接着し、基長測定後、直さく $21 \pm 1 \text{ cm}$, $60 \pm 5\%$ R.H. の恒温恒湿室に保存した。なお、収縮量測定を材令150日まで行つた。

3. 結果 (1) W/C は下部から上部に向つて増加し、変動程度は最大で約4%であった。セメントペースト量Pは下部から上部に向つて増加し、最上下層部の差で最大約 $0.15 \text{ m}^3/\text{m}^3$ であった。粗骨材図2 組成の高さ方向分布量は下部から上部に向つて減少し、最上下層部の差で最大約 $0.3 \text{ m}^3/\text{m}^3$ であった(図2)。(2)乾燥収縮量Sは角柱供試体の下部から上部に向つて増加する傾向が認められた。これは振動に伴い下部ほど増加することに起因すると考えられる。最上下層のSの差は最大で約 3×10^{-4} であった(図3)。(3)Sが下部から上部に向つて増加することから第1層と第4層の差によつて角柱供試体の高さ方向における収縮図3 収縮量の高さ方向分布図4 振動時間と収縮量の変動程度を評価した。Sの変動程度は振動時間との増加に伴つて図4 振動時間と収縮量の変動との関係増加した。変動程度はスランプ5cmのコンクリートで最も小さく、スランプ10cmのコンクリートが15cmのそれより若干大きくなつた。また、ほぼ締固めが終了したと考えられる $t_e = 60$ 秒前後ににおいてSの変動程度が $2 \sim 3 \times 10^{-4}$ に達した(図4)。(4)Pの増加に伴つてSは増加するのである。収縮量とコンクリートのペースト量は密接な関係にあると思われる。供試体の高さ方向における W/C の変化は約4%であつて、収縮量の変化に及ぼす影響はPの変動によるところが大きいと考えられる(図5)。(5)粗骨材の変動が大きく、また、他の組成の変動と密接な相関関係にあることがあり、最上層と最下層の単位粗骨材量の差を示す配合のそれで除した値で内部組成の変動程度を評価した。角柱コンクリート供試図5 ペースト量と収縮量の関係体内の組成変動が増加するほど乾燥収縮量の変動程度が増加する傾向が認められた(図6)。

以上の結果が、振動締固めによつて生ずる内部組成変動によつて、上層部ほど収縮量が増大し、収縮ひびわれの生ずる危険性が高くなることが明らかとなつた。

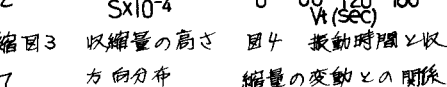
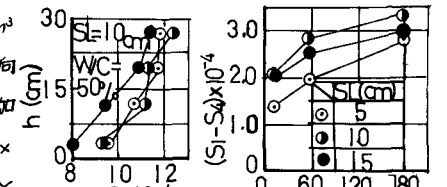
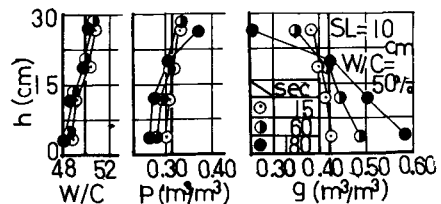
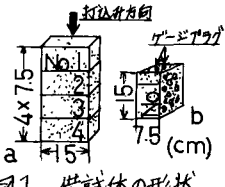


図3 収縮量の高さ方向分布

図4 振動時間と収縮量の変動との関係

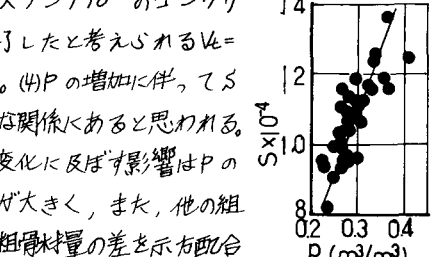


図4 振動時間と収縮量の変動との関係

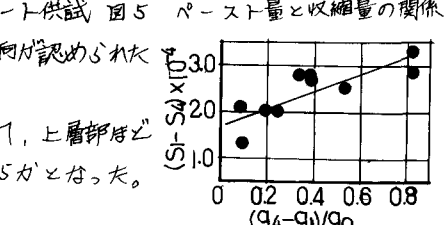


図5 ペースト量と収縮量の関係